

ПРЯМОЕ ВЫЧИСЛЕНИЕ ПРОВОДИМОСТИ ПЛЕНОК С МАГНИТНЫМИ ПРИМЕСЯМИ

А.А.Голубенцев

Вычислена главная логарифмическая поправка к проводимости двумерного металла с магнитными примесями. Обнаружена не универсальная зависимость ответа от способа обрезания логарифмических интегралов на малых расстояниях.

За последние годы был достигнут значительный прогресс в понимании механизмов влияния квантовой интерференции на транспортные явления в проводниках с малой степенью беспорядка ($p_F l \gg 1$)¹⁻⁴. Было показано, что интерференция приводит к взаимному влиянию рассеивателей, удаленных друг от друга на расстояния, значительно превышающие длину свободного пробега l . Это взаимное влияние описывается с помощью эффективного взаимодействия мягких мод – диффузонов и куперонов^{3,4} и приводит к появлению сингулярных по частоте ω поправок к проводимости $\sigma(\omega)$. Нижней критической размерностью в этой задаче является $d = 2$ и сингулярные поправки при $d = 2$ выражаются логарифмическими интегралами. В главном порядке по $1/p_F l$ логарифмическая поправка определяется купероном. Если в проводнике имеются магнитные примеси или к нему приложено внешнее магнитное поле, то купероны подавлены и главная логарифмическая поправка возникает в порядке $(1/p_F l)^2$ ⁵. Для вычисления этой поправки необходимо правильно регуляризовать логарифмические интегралы в области малых расстояний^{2,6}. В⁶ эта поправка была найдена с помощью аналитического продолжения от размерности пространства $d = 2 - \epsilon$, $\epsilon \rightarrow 0$. Такой способ обрезания основан на предположении, что ответ не зависит от свойств системы на малых расстояниях. Физически обрезание возникает на расстояниях $\sim l$, на которых диффузионный режим распространения частицы сменяется баллистическим.

В настоящей работе поправка к проводимости вычисляется с учетом расстояний $\sim l$ и определяются условия, при которых возникает отличие от ответа, полученного в⁶.

Метод вычисления поправок к проводимости электронного газа изложен в³. Как и в³, для простоты рассмотрим случай изотропных рассеивателей. Отличие состоит в том, что при наличии магнитных примесей пунктирным линиям на диаграммах соответствует величина

$$f_{\alpha\beta\gamma\delta} = \frac{\delta_{\alpha\beta} \delta_{\gamma\delta}}{m\tau_0} + \frac{\vec{\sigma}_{\alpha\beta} \vec{\sigma}_{\gamma\delta}}{3m\tau_s} = \frac{1}{2m\tau} (\delta_{\alpha\delta} \delta_{\beta\gamma} + (1 - \frac{4\tau}{3\tau_s}) \vec{\sigma}_{\alpha\delta} \vec{\sigma}_{\gamma\beta}), \quad (1)$$

где параметры τ_0 и τ_s есть времена рассеяния электронов без переворота и с переворотом спина, $\tau = (\tau_0^{-1} + \tau_s^{-1})^{-1}$ – время свободного пробега, $\vec{\sigma}_{\alpha\beta} = (\sigma_{\alpha\beta}^x, \sigma_{\alpha\beta}^y, \sigma_{\alpha\beta}^z)$ – матрицы Паули.

$$D_{\alpha\beta\gamma\delta}(q\omega) = \begin{array}{c} \alpha \\ \delta \end{array} \begin{array}{c} \beta \\ \gamma \end{array} = \begin{array}{c} \alpha \quad \beta \\ \delta \quad \gamma \\ a \end{array} + \begin{array}{c} \alpha \quad \beta \\ \delta \quad \gamma \\ a \end{array} + \begin{array}{c} p+q \quad p'+q \\ p \quad p' \\ \dots \end{array}$$

$$C_{\alpha\beta\gamma\delta}(q\omega) = \begin{array}{c} \alpha \\ \gamma \end{array} \begin{array}{c} \beta \\ \delta \end{array} = \begin{array}{c} \alpha \quad \beta \\ \gamma \quad \delta \\ b \end{array} + \begin{array}{c} \alpha \quad \beta \\ \gamma \quad \delta \\ b \end{array} + \begin{array}{c} p+q \quad p'+q \\ -p \quad -p' \\ \dots \end{array}$$

Рис. 1

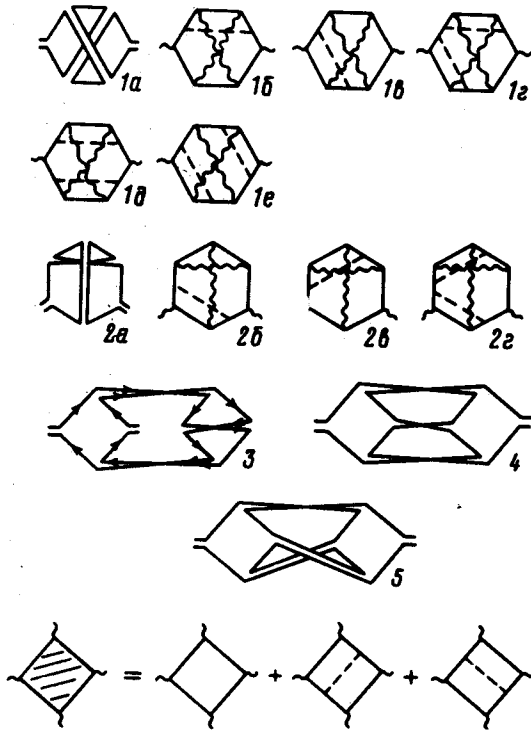


Рис. 2

Пропагаторы мягких мод – диффузонов $D(q\omega)$ и куперонов $C(q\omega)$ изображаются суммой диаграмм рис. 1, а и б и равны

$$D_{\alpha\beta\gamma\delta}(q\omega) = \frac{1}{2m\tau} \left\{ \frac{\delta_{\alpha\delta} \delta_{\beta\gamma}}{1-\pi} + \frac{(1-4\tau/3\tau_s) \vec{\sigma}_{\alpha\delta} \vec{\sigma}_{\gamma\beta}}{1-\pi(1-4\tau/3\tau_s)} \right\}, \quad (2)$$

$$C_{\alpha\beta\gamma\delta}(q\omega) = \frac{(\delta_{\alpha\delta} \delta_{\beta\gamma} - \vec{\sigma}_{\alpha\delta} \vec{\sigma}_{\beta\gamma})(1 - (1 - \frac{2\tau}{\tau_s})(1 - \frac{2\tau}{3\tau_s})\pi) - \frac{4\tau}{3\tau_s} \vec{\sigma}_{\alpha\delta} \vec{\sigma}_{\beta\gamma}}{2m\tau \left[1 - (1 - \frac{2\tau}{\tau_s})\pi \right] \left[1 - (1 - \frac{2\tau}{3\tau_s})\pi \right]},$$

где $\pi = \pi(q\omega) = \frac{1}{m\tau} \int G_{e+\omega}^R(p+q) G_e^A(p) \frac{dp}{(2\pi)^2} = \frac{1}{\sqrt{q^2 f^2 + 1}} + i\omega\tau$, $q \ll p_F$, $\omega \ll \epsilon$.

Для вычисления логарифмически зависящих от частоты поправок к проводимости при $\omega\tau_s \ll 1$ необходимо вычислить все диаграммы порядка $(1/p_F l)^2 \sigma_0$, содержащие, по меньшей мере, один диффузон. (При $\omega\tau_s \gg 1$ наличие магнитных примесей несущественно и задача сводится к разобранной в³⁾). Такие диаграммы изображены на рис. 2. Среди них имеются диаграммы порядка $\sigma_0(1/p_F l)^2 \ln^2 1/\omega\tau_s$, однако члены $\sim \ln^2 1/\omega\tau_s$ в сумме сокращаются. Остающийся вклад пропорционален $\sigma_0(1/p_F l)^2 \ln 1/\omega\tau_s$. Для вычисления коэффициента перед логарифмом нужно выделить каждое логарифмическое интегрирование по импульсу одной из диффузионных линий и в остальных блоках диаграммы этот импульс и частоту ω считать нулевыми. В результате получается выражение для коэффициента перед логарифмом в виде интеграла по импульсам остающихся диффузионных, куперонных и электронных линий. Это вычисление производится стандартным образом, однако необходимо учесть следующее обстоятельство. Все слагаемые рядов рис. 1 для функций $D(q, \omega)$ и $C(q, \omega)$, за исключением диаграмм с одной и двумя пунктирными линиями быстро убывают при $ql \gg 1$. Поэтому при вычислении интегралов по импульсам электронных линий ("четырёхугольников" и "шестиугольников" на рис. 2) можно считать импульсы диффузонов и куперонов малыми по сравнению с p_F , если диффузоны и купероны содержат больше двух пунктирных линий. Вклад процессов рассеяния низкой кратности следует рассмотреть особо. Анализ показывает, что все диаграммы, содержащие помимо одного диффузона, одну или две пунктирные линии, в сумме не логарифмичны; в диаграммах же, содержащих более двух пунктирных линий импульсы диффузонов и куперонов можно считать малыми по сравнению с p_F .

Таким образом для коэффициента перед $\ln 1/\omega\tau_s$ получается выражение в виде интеграла:

$$\frac{\delta\sigma}{\sigma_0} = -\left(\frac{1}{p_F l}\right)^2 \ln \frac{1}{\omega\tau_s} \int \frac{dq}{(2\pi)^2} \left(K^d\left(q, \frac{\tau}{\tau_s}\right) - K^c\left(q, \frac{\tau}{\tau_s}\right) \right) = -\left(\frac{1}{p_F l}\right)^2 f\left(\frac{\tau}{\tau_s}\right) \ln \frac{1}{\omega\tau_s}, \quad (3)$$

при m $K^d\left(q, \frac{\tau}{\tau_s}\right)$, вклад диаграмм 1 а – е и 4, выражается через пропагатор диффузона $D(q)$, а $K^c\left(q, \frac{\tau}{\tau_s}\right)$, т. е. вклад диаграмм 2 а – з, 3 и 5, – через пропагатор куперона $C(q)$.

В отсутствие магнитных примесей ($\tau_s \rightarrow \infty$) $D(q) = C(q)$, а также $K^c(q) = K^d(q)$, и подынтегральное выражение в (3) сокращается. Сокращения такого типа впервые отметили Малеев и Топерверг⁴, однако они не рассматривали воздействия, нарушающих инвариантность относительно обращения времени и причину таких сокращений не связывали с этой инвариантностью.

Таким образом, полученный ответ зависит от отношения τ/τ_s ¹⁾. Коэффициент перед $\ln 1/\omega\tau_s$ в (3) совпадает с полученным в⁶, если рассеяние с переворотом спина слабое и $\tau/\tau_s \ll 1$. (При $\tau/\tau_s \ll 1$ возникает новый масштаб расстояний – длина диффузии без переворота спина $l_s \sim l\sqrt{\tau_s/\tau} \gg l$. На меньших расстояниях при $ql_s \gg 1$ диффузоны и купероны совпадают $D\left(q, \frac{\tau}{\tau_s}\right) = C\left(q, \frac{\tau}{\tau_s}\right) + O\left(\frac{\tau}{\tau_s}\right)$ и $K^d(q) = K^c(q) + O\left(\frac{\tau}{\tau_s}\right)$).

Главный вклад в интеграл (3) дают импульсы $q \sim l_s^{-1} \ll l^{-1}$, лежащие в диффузионной области. Выделяя этот вклад, получим $f\left(\frac{\tau}{\tau_s}\right) = \frac{1}{(2\pi)^2} + O\left(\frac{\tau}{\tau_s}\right)$.

В обратном случае $\frac{\tau}{\tau_s} \sim 1$ в интеграле (3) важны $q \sim l^{-1}$. Вычисление упрощается при $\frac{\tau}{\tau_s} = \frac{3}{4}$, когда электрон "забывает" направление спина после каждого рассеяния (см. (1)) и дает $f \cong 3,12 \cdot \frac{1}{(2\pi)^2}$.

1) Подобная неуниверсальность была независимо обнаружена К.Б.Ефетовым в иной модели неупорядоченной системы, также не обладающей инвариантностью относительно обращения времени⁷.

Обнаруженная ~~неуниверсальная~~ зависимость коэффициента в (3) от свойств проводника на малых расстояниях показывает, что гипотеза однопараметрического скейлинга, выдвинутая в ¹, не допускает непосредственного обобщения на случай системы с магнитными примесями, как это было сделано в работах ^{2, 6, 8}. Вопрос о том, какими должны быть правильные заряды уравнений ренормгруппы в рассматриваемом случае, остается открытым.

Автор благодарен Д.Е.Хмельницкому за руководство работой, К.Б.Ефетову, сообщившему результаты ⁷ до публикации, А.И.Ларкину, А.Г.Аронову и Б.Л.Альтшулеру за обсуждение результатов.

Литература

1. *Abrahams E., Anderson P.W., Liccardello D.C., Ramakrishnan T.V.* Phys. Rev. Lett., 1979, 42, 673.
2. *Wegner F.* Z. Physik, 1979, B35, 207.
3. *Горьков Л.П., Ларкин А.И., Хмельницкий Д.Е.* Письма в ЖЭТФ, 1979, 30, 248.
4. *Малеев С.В., Тонерверг Б.П.* ЖЭТФ, 1975, 69, 1440.
5. *Lee P.A.* J. Noncryst. Solids, 1980, 35, 21.
6. *Hikami S.* Phys. Rev., B24, 2671.
7. *Ефетов К.Б.* (в печати).
8. *Ефетов К.Б., Ларкин А.И., Хмельницкий Д.Е.* ЖЭТФ, 1980, 79, 1120.

Институт теоретической физики им. Л.Д.Ландау
Академии наук СССР

Поступила в редакцию
13 мая 1985